

琉球大学 理工学部 正員 津嘉山正光

## 1. はじめに

沖縄県の海岸に普通に見られるリーフによる波の変形について、主として波の通過率( $K_t$ )・反射率( $K_r$ )の面から取扱い、これまで堡礁部が斜面をもたない模型(Fig. 1の $\theta = 90^\circ$ )の場合の研究結果について第31回及び32回年次講演会で報告した。

今回は堡礁部が斜面をもつ場合のモデル(Fig. 1)を考え、 $\theta$ を変化させた場合の $K_t$ ・ $K_r$ に関する実験を行なった。本報はその実験結果の一部について若干の考察と共に述べるものであるが、とりまとめにおいてはこれまでの方法を用い、 $K_t$ ・ $K_r$ に対する $\sigma^2 h/g$ および波形勾配 $H/L$ 、相対天端水深 $h_1/h$ の効果という面から検討した。なお、 $\sigma^2 h/g$ による $K_t$ ・ $K_r$ の変化に関しては、比較の意味で上述の第31回年次講演会で述べた理論値も図中に示した。

## 2. 実験

実験は琉球大学理工学部土木工学科の2次元造波水路(断面 $80\text{cm}W \times 100\text{cm}H$ 、長さ22mで造波装置はフラッタ型)を用いて行なった。実験装置の概要はFig. 1に示してあるが、リーフ模型は防水合板により作成した。実験の方法は、リーフ模型を設置したのち波を起し、Fig. 1に示すⒶ～Ⓓ点にセットした電気容量式波高計によって入射波、反射波および通過波をビデオテープに記録計測するものである。実験水深は常に40cmとした。入射波高、反射波高はⒹ・Ⓐの波高計を用いてHealy法によって求めた。なお、Healy法検証のために同法による入射波高とⒹ点波高計による進行波状態の記録より得られた入射波高を比較したところ、両者はかなりよく一致した。通過波高はⒹ点波高計により計測した。

リーフ模型の条件は、今回も $Q_2 = 0.5$ に固定し、 $Q_1 = 0.1, 0.3$ の2種に対して各々 $S$ を0.2, 0.5, 0.8にえた、さらに各 $S$ に対して $\theta$ を $80^\circ, 60^\circ, 45^\circ$ の3種にえた。実験波は周期 $T$ を0.8, 1.0, 1.2, 1.4, 1.6秒の5種にとり、各周期に対して波高 $H$ は約1cm～約10cmの間で変化させた。

## 3. 実験結果

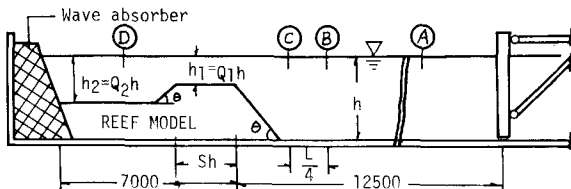
(1)  $K_t$ ・ $K_r$ と $\sigma^2 h/g$ の関係Fig. 2, 3には $\theta$ をパラメー

Fig. 1 Schematic diagram of experimental equipment

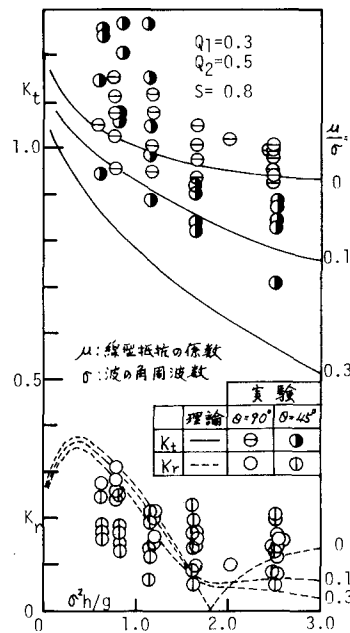


Fig. 2

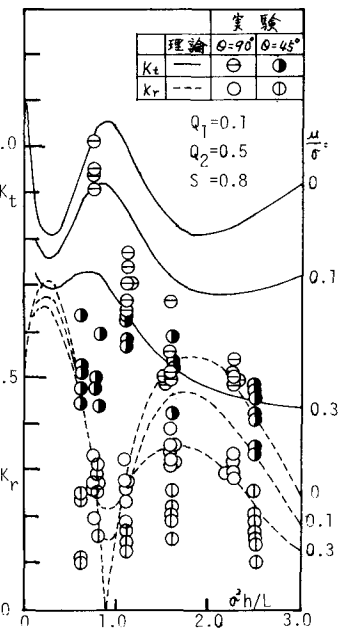


Fig. 3

タにして  $K_t \cdot Kr$  と  $\sigma^2 h / g$  の関係を示した。 $K_r$  の分布のθによると差異はあまりないが、全般的に  $\theta = 45^\circ$  の方が  $K_r$  も小さくなる傾向を示している。これは  $\theta = 45^\circ$  のとき、水粒子の斜面に沿う速度成分のため反射エネルギーが幾分減ることによるものと思われる。 $K_t$  は  $\sigma^2 h / g$  が 1.0 以上のところではθによると差異はあまりないと見做されるが、 $\sigma^2 h / g < 1$  のとき  $Q_1 = 0.3$  では  $\theta = 45^\circ$  の case の方が  $K_t$  は大きくなるのにに対し、 $Q_1 = 0.1$  の時は逆の結果を示している。これは前者では斜面方向の水粒子運動が通過波高増加に寄与するのに対し、後者では堡礁部水深が小さいため、碎波等との関係が必ずしも通過波高につながらないということではないかと考えられる。

#### (2) $K_t \cdot Kr$ と $H/L$ の関係

Fig. 4, 5 には  $K_r$ ,  $K_t$  と  $H/L$  の関係が示してある。 $Q_1$  が 0.1, 0.3 のいずれのときも  $K_r$  の分布はほとんど同様と見做される。他方  $K_t$  は  $Q_1 = 0.3$  の時  $\theta = 45^\circ$  の方がばらつきが大きく、かつ値も全体的に大きい。

これは要するに、(1)で述べた事と同様な理由により、θの影響は通過波に対してより大ということである。

(3)  $K_t \cdot Kr$  と  $h_1/H$  の関係；Fig. 6 には堡礁部の入射波高に対する相対水深  $h_1/H$  と  $K_t \cdot Kr$  の関係が示してある。当然のことながら、 $h_1/H$  が小のとき  $K_t$  は小  $K_r$  は大となるが、θによる差異はあまり大きくな。

#### 4. 結び

以上、実験結果について、スペースの都合もあって大まかに述べたが、本実験の範囲内では堡礁部の斜面の影響は  $K_r$  に対してはほとんどなく、 $K_t$  に若干見られるが全体的には小さく、 $K_t \cdot Kr$  に対して最も大きい効果を有する要素は堡礁部天端水深ということである。終りに終始御指導を賜つて、琉球大学理工学部土木工学科の河野三夫教授に対し感謝申し上げるとともに、実験に携わった比嘉幸雄・村角俊彦の両君（実験当時琉球大学理工学部土木工学科4年生）に対し謝意を表する。

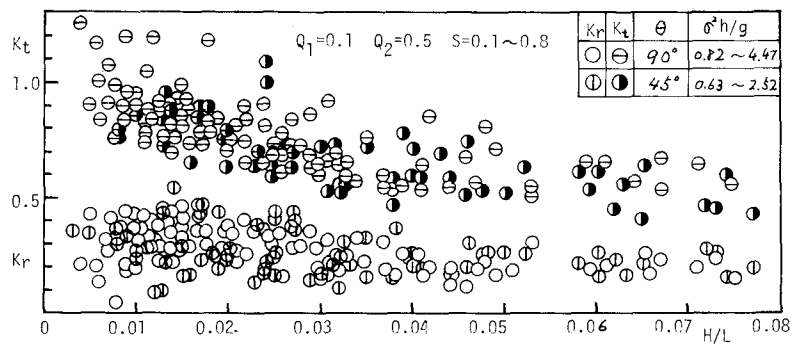


Fig.4 Relations between  $K_t$  (or  $K_r$ ) and  $H/L$  with  $\theta$  as a parameter ( $Q_1=0.1$ )

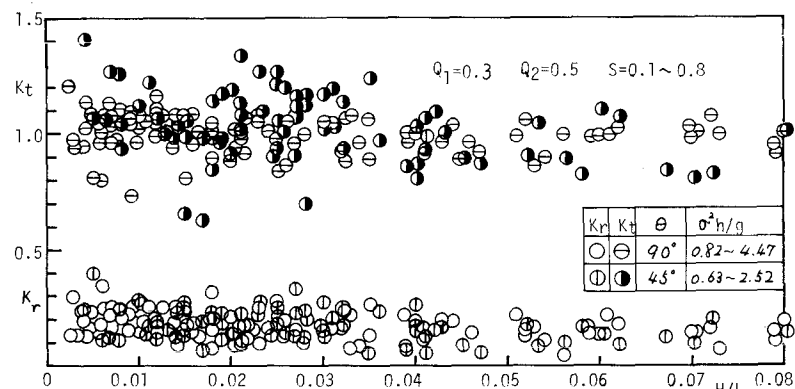


Fig.5 Relations between  $K_t$  (or  $K_r$ ) and  $H/L$  with  $\theta$  as a parameter ( $Q_1=0.3$ )

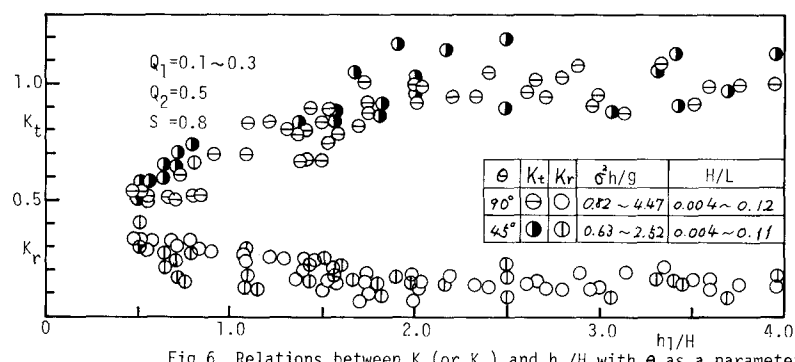


Fig.6 Relations between  $K_t$  (or  $K_r$ ) and  $h_1/H$  with  $\theta$  as a parameter